

Planches

Autor(en): **[s.n.]**

Objekttyp: **Appendix**

Zeitschrift: **Eclogae Geologicae Helvetiae**

Band (Jahr): **69 (1976)**

Heft 3

PDF erstellt am: **17.05.2024**

Nutzungsbedingungen

Die ETH-Bibliothek ist Anbieterin der digitalisierten Zeitschriften. Sie besitzt keine Urheberrechte an den Inhalten der Zeitschriften. Die Rechte liegen in der Regel bei den Herausgebern.

Die auf der Plattform e-periodica veröffentlichten Dokumente stehen für nicht-kommerzielle Zwecke in Lehre und Forschung sowie für die private Nutzung frei zur Verfügung. Einzelne Dateien oder Ausdrucke aus diesem Angebot können zusammen mit diesen Nutzungsbedingungen und den korrekten Herkunftsbezeichnungen weitergegeben werden.

Das Veröffentlichen von Bildern in Print- und Online-Publikationen ist nur mit vorheriger Genehmigung der Rechteinhaber erlaubt. Die systematische Speicherung von Teilen des elektronischen Angebots auf anderen Servern bedarf ebenfalls des schriftlichen Einverständnisses der Rechteinhaber.

Haftungsausschluss

Alle Angaben erfolgen ohne Gewähr für Vollständigkeit oder Richtigkeit. Es wird keine Haftung übernommen für Schäden durch die Verwendung von Informationen aus diesem Online-Angebot oder durch das Fehlen von Informationen. Dies gilt auch für Inhalte Dritter, die über dieses Angebot zugänglich sind.

Ein Dienst der *ETH-Bibliothek*

ETH Zürich, Rämistrasse 101, 8092 Zürich, Schweiz, www.library.ethz.ch

<http://www.e-periodica.ch>

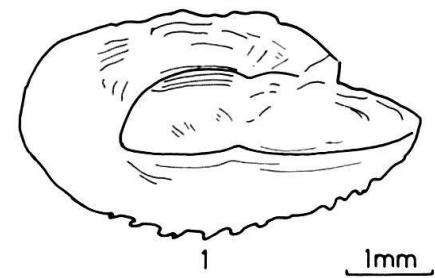
Explication des planches

Abréviations utilisées: G = Otolithe gauche
D = Otolithe droite
I = Face interne
E = Face externe

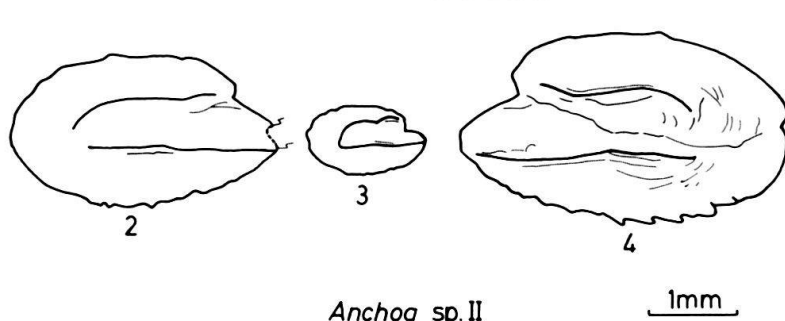
Tous les numéros mentionnés se réfèrent aux collections du Musée d'Histoire Naturelle de Bâle (Suisse).

Planche I

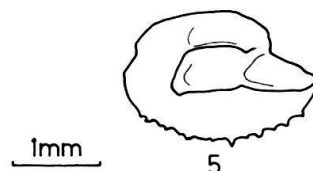
| | | |
|------------|--|-----|
| Fig. 1 | <i>Anchoa hepseta</i> (LINNAEUS, 1758) | 712 |
| | G.I., actuel, côtes de la Floride. (coll. J.E. Fitch). | |
| Fig. 2-4 | <i>Anchoa</i> sp. II | 712 |
| | 2 G.I., Formation de Morne l'Enfer, point 21, éch. n° 675 (SA 1427) | |
| | 3 G.I., Formation de Brasso, point 13, éch. K 11035. (SA 1426) | |
| | 4 D.I., Formation de Springvale, point 18, éch. K. R. 11862. (SA 1429) | |
| Fig. 5 | <i>Anchoa mitchilli</i> (VALENCIENNES, 1848) | 712 |
| | G.I., actuel, côtes de la Floride. (coll. J.E. Fitch). | |
| Fig. 6-9 | <i>Anchoa</i> sp. 1 | 712 |
| | 6 G.I., Formation de Morne l'Enfer, point 21, éch. n° 675. (SA 1430) | |
| | 7 G.I., Formation de Morne l'Enfer, point 21, éch. n° 675. (SA 1431) | |
| | 8 D.I., Formation de Manzanilla, point 16, éch. K. 10842. (SA 1432) | |
| | 9 D.I., Formation de Manzanilla, point 16, éch. K. 12042. (SA 1433) | |
| Fig. 10 | <i>Cetengraulis edentulus</i> (CUVIER, 1829) | 713 |
| | D.I., actuel, côtes du Vénézuéla. (coll. D. Nolf). | |
| Fig. 11-12 | <i>Cetengraulis</i> sp. | 712 |
| | 11 G.I., Formation de Manzanilla, point 16, éch. K. 12041. (SA 1434) | |
| | 12 D.I., Formation de Manzanilla, point 16, éch. K. 12054. (SA 1435) | |
| Fig. 13 | <i>Ilisha africana</i> (BLOCH, 1795) | 713 |
| | G.I., actuel, côtes du Zaïre. (coll. D. Nolf). | |
| Fig. 14 | <i>Ilisha</i> sp. | 713 |
| | G.I., Formation de Brasso, point 10, éch. K.R. 9244. (SA 1436) | |
| Fig. 15 | <i>Ophistonema oglinum</i> (LE SUEUR, 1817) | 713 |
| | D.I., actuel, côtes du Vénézuéla. (coll. D. Nolf). | |
| Fig. 16 | <i>Ophistonema</i> aff. <i>oglinum</i> (LE SUEUR, 1817) | 713 |
| | D.I., Formation de Brasso, point 28, éch. K.R. 6666. (SA 1437) | |



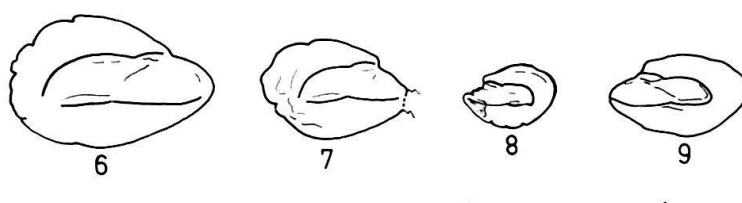
Anchoa hepseta (LINNAEUS,C.,1758)



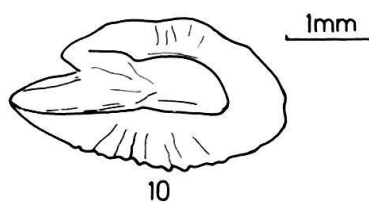
Anchoa sp. II



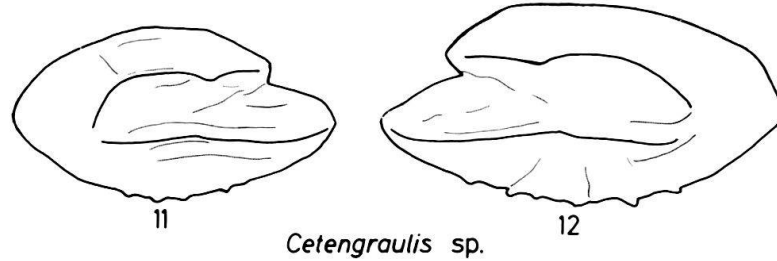
Anchoa mitchilli
(VALENCIENNES,A.,1848)



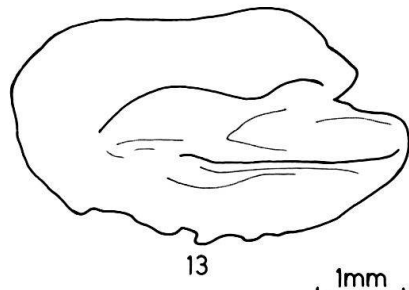
Anchoa sp.I



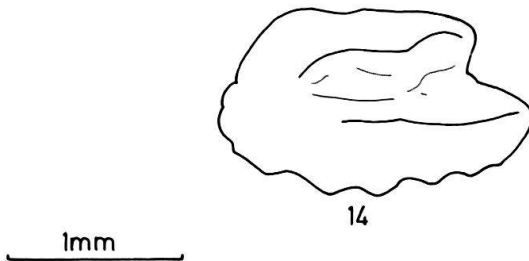
Cetengraulis edentulus
(CUVIER,G.,1829)



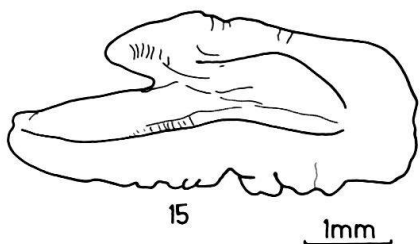
Cetengraulis sp.



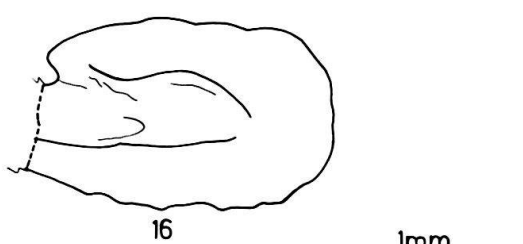
Ilisha africana (BLOCH,M.E.,1795)



Ilisha sp.



Ophistonema oglinum
(LE SUEUR,C.A.,1817)



Ophistonema aff. *oglinum* (LE SUEUR,C.A.,1817)

Planche II

| | | |
|------------|--|-----|
| Fig. 1 | Muraenesocidae ind. | 714 |
| | G. I., Formation de Morne l'Enfer, point 21, éch. n° 675. (SA 1438) | |
| Fig. 2 | <i>Ariosoma</i> sp. | 714 |
| | G. I., Formation de Manzanilla, point 12, éch. K. R. 25971. (SA 1439) | |
| Fig. 3 | «genus Congridarum» sp. II | 715 |
| | G. I., Formation de Nariva, point 17, éch. K. R. 25953. (SA 1440) | |
| Fig. 4 | «genus Congridarum» sp. III | 715 |
| | D. I., Formation de Manzanilla, point 16, éch. K. R. 12054. (SA 1441) | |
| Fig. 5-7 | <i>Gnathophis</i> sp. | 714 |
| | 5 D. I., Formation de Brasso, point 11, éch. Cb. 1855. (SA 1442) | |
| | 6 G. I., Formation de Brasso, point 28, éch. K. R. 6666. (SA 1443) | |
| | 7 D. I., Formation de Brasso, point 11, éch. Cb. 1855. (SA 1444) | |
| Fig. 8-10 | «genus Congridarum» sp. I | 715 |
| | 8 G. I., Formation de Nariva, point 17, éch. Cb. 15903. (SA 1445) | |
| | 9 G. I., Formation de Brasso, point 20, éch. Cb. 1852. (SA 1446) | |
| | 10 D. I., Formation de Nariva, point 17, éch. K. R. 25953. (SA 1447) | |
| Fig. 11 | <i>Arius felis</i> LINNAEUS, 1758 | 716 |
| | D. I., lapis, actuel, Golfe du Mexique. (coll. D. Nolf). | |
| Fig. 12 | <i>Arius</i> aff. <i>felis</i> LINNAEUS, 1758 | 716 |
| | 12a lapis vu par le bord ventral. Formation de Springvale, point 18, éch. K. R. 11862. (SA 1448) | |
| | 12b ibidem, G. I. | |
| Fig. 13-14 | <i>Arius</i> sp. | 716 |
| | 13 G. I., Formation de Manzanilla, point 3, éch. Cb. 2076. (SA 1449) | |
| | 14 D. I., lapis, point 1, Formation de Springvale, Sondage ABM5 à 60 ft. (SA 1450) | |
| Fig. 15-17 | <i>Arius spixii</i> AGASSIZ, 1829 | 716 |
| | 15 G. I., lapis, actuel, côtes du Vénézuéla. (coll. D. Nolf). | |
| | 16 G. I., lapis, Formation de Manzanilla, point 14, éch. K. R. 12301. (SA 1451) | |
| | 17 D. I., lapis, Formation de Springvale, point 18, éch. K. R. 11862. (SA 1452) | |
| Fig. 18-19 | <i>Selenaspis herzbergi</i> (BLOCH, 1794) | 717 |
| | 18 D. I., lapis, actuel, côtes du Vénézuéla, (coll. D. Nolf). | |
| | 19a D. I., lapis, Formation de Manzanilla, point 25, éch. Cb. 1633. (SA 1453) | |
| | 19b ibidem, vu par le bord ventral. | |

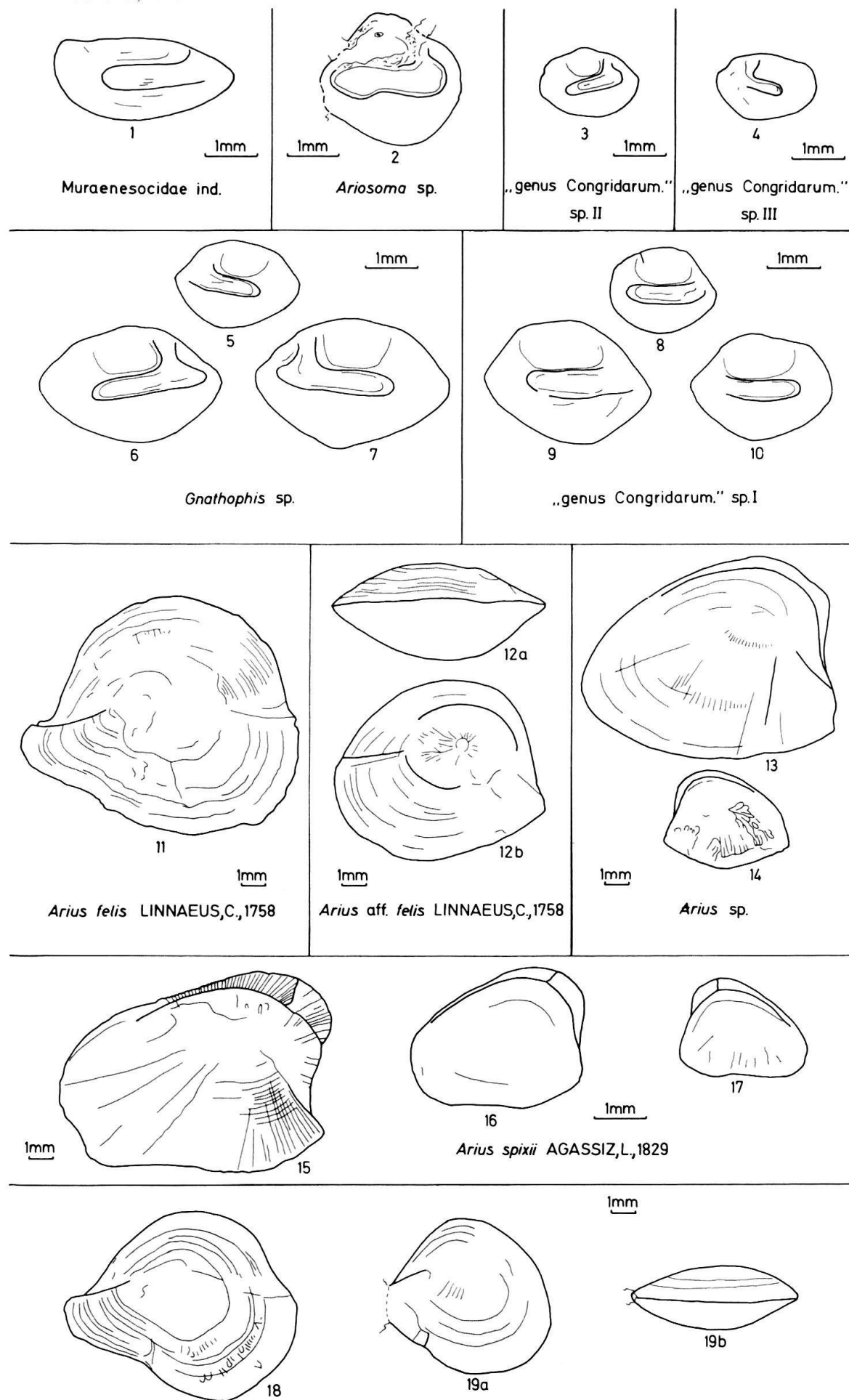
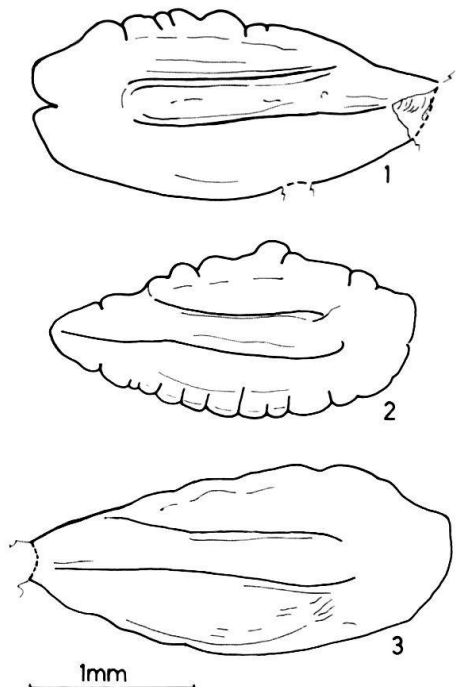
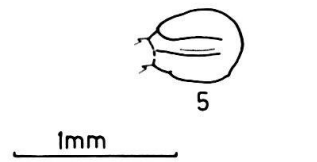
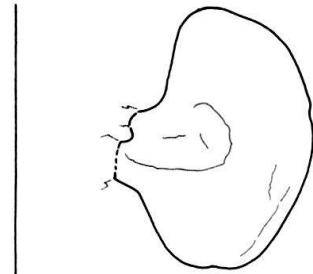


Planche III

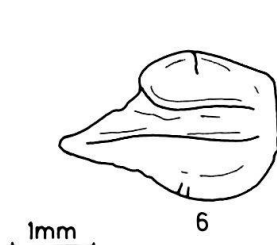
| | | |
|------------|--|-----|
| Fig. 1-3 | <i>Saurida aff. caribbaea</i> BREDER, 1927 | 719 |
| | 1 G.I., Formation de Nariva, point 17, éch. K.R. 25953. (SA 1454) | |
| | 2 D.I., Formation de Nariva, point 17, éch. K.R. 25953. (SA 1455) | |
| | 3 D.I., Formation de Nariva, point 17, éch. K.R. 25953. (SA 1456) | |
| Fig. 4 | <i>Polyipnus</i> sp. | 717 |
| | D.I., Formation de Nariva, point 17, éch. K.R. 25930. (SA 1457) | |
| Fig. 5 | <i>Polymetme</i> cf. <i>corythaeola</i> (ALCOCK, 1898) | 718 |
| | D.I., Formation de Nariva, point 17, éch. K.R. 25953. (SA 1458) | |
| Fig. 6 | <i>Yarella blackfordi</i> GOODE & BEAN, 1885 | 718 |
| | G.I., actuel, au large de Guyana. (coll. D. Nolf) | |
| Fig. 7 | Photichthyidae ind. | 718 |
| | G.I., Formation de Nariva, point 17, éch. K.R. 25953. (SA 1459) | |
| Fig. 8-14 | <i>Diaphus dumerili</i> BLEEKER, 1856 | 719 |
| | 8 G.I., Formation de Nariva, point 17, éch. K.R. 25953. (SA 1460) | |
| | 9 D.I., Formation de Nariva, point 17, éch. K.R. 25953. (SA 1461) | |
| | 10 D.I., Formation de Nariva, point 17, éch. K.R. 25953. (SA 1462) | |
| | 11 D.I., Formation de Brasso, point 20, éch. Cb. 1852. (SA 1463) | |
| | 12 D.I., Formation de Brasso, point 20, éch. Cb. 1852. (SA 1464) | |
| | 13 G.I., actuel, Atlantique Ouest. (coll. J.E. Fitch). | |
| | 14 D.I., actuel, Atlantique Ouest. (coll. J.E. Fitch). | |
| Fig. 15 | <i>Diaphus termophilus</i> TAANING, 1928 | 720 |
| | D.I., actuel, Atlantique Ouest. (coll. J.E. Fitch). | |
| Fig. 16 | <i>Diaphus taanangi</i> NORMAN, 1930 | 720 |
| | G.I., actuel, Atlantique Ouest. (coll. J.E. Fitch). | |
| Fig. 17 | <i>Diaphus</i> sp. I | 719 |
| | G.I., Formation de Brasso, point 28, éch. K.R. 6666. (SA 1465) | |
| Fig. 18-19 | <i>Diaphus</i> sp. II | 720 |
| | 18 G.I., Formation de Nariva, point 17, éch. K.R. 25942. (SA 1466) | |
| | 19 D.I., Formation de Nariva, point 17, éch. K.R. 25942. (SA 1467) | |



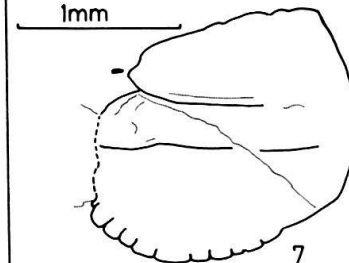
Saurida aff. caribbaea BREDER, C.M., 1927



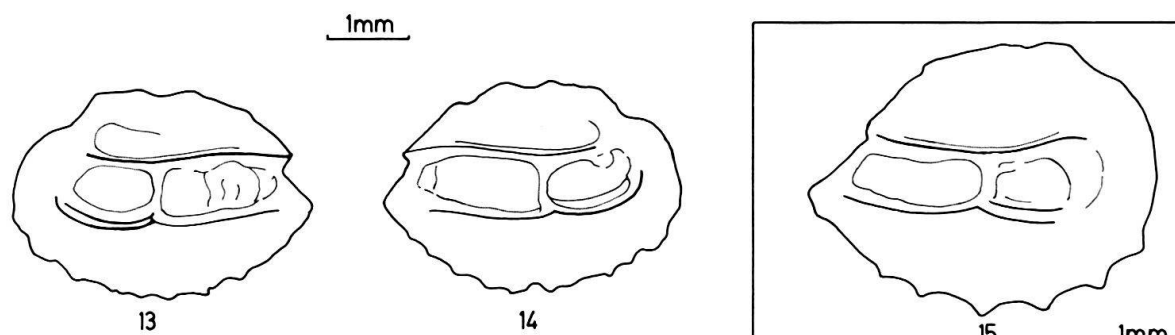
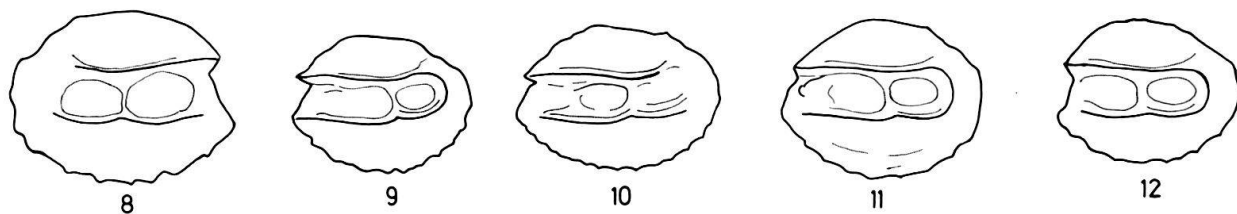
Polymetme cf. corythaeola
(ALCOCK, A.W., 1898)



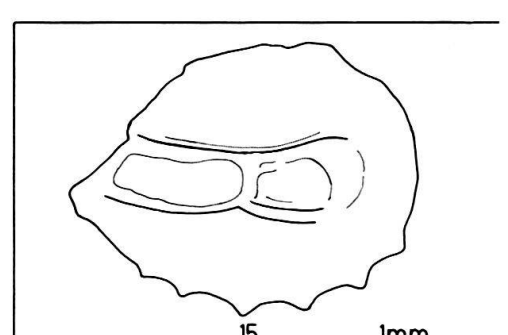
Yarella blackfordi
GOODE, G.B. et BEAN, T.H., 1885



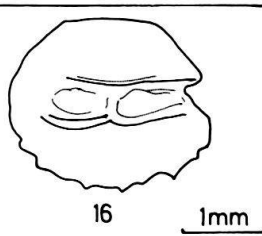
Photichyidae ind.



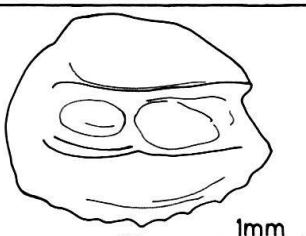
Diaphus dumerili (BLEEKER, P., 1856)



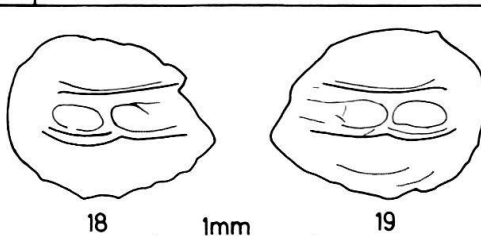
Diaphus termophilus TAANING, A.V., 1928



Diaphus taanangi
NORMAN, J.R., 1930



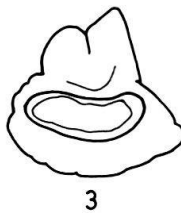
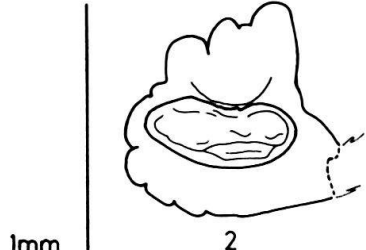
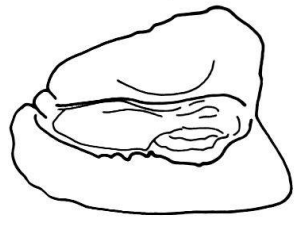
Diaphus sp. I



Diaphus sp. II

Planche IV

| | | |
|------------|--|-----|
| Fig. 1 | <i>Porichthys notatus</i> GIRARD, 1854 | 721 |
| | actuel, au large du Vénézuéla. (coll. D. Nolf). | |
| Fig. 2-4 | <i>Porichthys</i> sp. | 721 |
| | 2 D.I., Formation de Brasso, point 28, éch. K.R. 6666. (SA 1468) | |
| | 3 D.I., Formation de Brasso, point 28, éch. K.R. 6666. (SA 1469) | |
| | 4 G.I., Formation de Nariva, point 17, éch. K.R. 25957. (SA 1470) | |
| Fig. 5 | <i>Perilibatrachus rossignoli</i> (ROUX, 1957) | 720 |
| | G.I., actuel, côte africaine. (coll. I.R.S.N.B.). | |
| Fig. 6 | «genus aff. <i>Perilibatrachus</i> » sp. | 720 |
| | G.I., Formation de Manzanilla, point 7, éch. K.R. 7574. (SA 1471) | |
| Fig. 7 | <i>Thalassophryne natterei</i> STEINDACHNER, 1876 | 721 |
| | D.I., actuel, au large de Tobago. (coll. D. Nolf). | |
| Fig. 8-10 | <i>Thalassophryne</i> sp. | 721 |
| | 8 G.I., Formation de Brasso, point 28, éch. K.R. 6666. (SA 1472) | |
| | 9 G.I., Formation de Springvale, point 18, éch. K.R. 11862. (SA 1473) | |
| | 10 G.I., Formation de Tamana, ou base de la Formation de Manzanilla, point 3 (SA 1474) | |
| Fig. 11-12 | <i>Gadella maraldi</i> (RISSO, 1810) | 723 |
| | 11 G.I., actuel, au large de Tortugas. (coll. D. Nolf). | |
| | 12a D., profil en vue dorsale, actuel, au large de Tortugas. (coll. D. Nolf). | |
| | 12b ibidem, D.I. | |
| Fig. 13 | <i>Gadella</i> sp. | 723 |
| | 13a G., profil en vue dorsale. Formation de Nariva, point 17, éch. K.R. 25953. (SA 1534) | |
| | 13b ibidem, G.I. | |
| Fig. 14 | Antennariidae ind. | 722 |
| | D.I., Formation de Manzanilla, point 12, éch. 25973. (SA 1475) | |
| Fig. 15-18 | <i>Bregmaceros</i> sp. | 722 |
| | 15 Formation de Manzanilla, point 16, éch. K.R. 10842. (SA 1476) | |
| | 16 Formation de Manzanilla, point 16, éch. K. 12054. (SA 1477) | |
| | 17 Formation de Brasso, point 20, éch. Cb. 1852. (SA 1478) | |
| | 18 Formation de Nariva, point 17, éch. K.R. 25953. (SA 1479) | |



Porichthys notatus
GIRARD, C.F., 1859

1mm

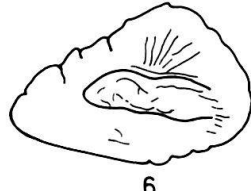
Porichthys sp.

1mm



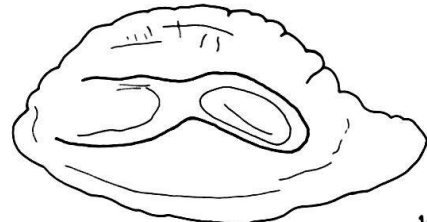
Perulibatrachus rossignoli
(ROUX, C., 1957)

1mm



1mm

.. genus aff. *Perulibatrachus*. sp.

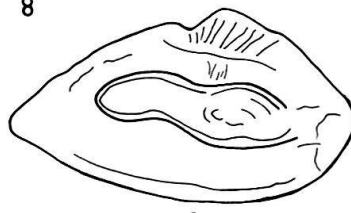


1mm

Thalassophryne natterei
STEINDACHNER, F., 1876



8



10

Thalassophryne sp.

1mm



12a



12b

Gadella maralda (RISSO, A., 1810)



13a



13b

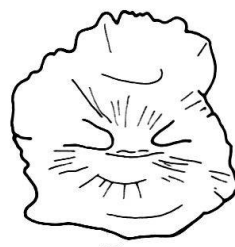
Gadella sp.



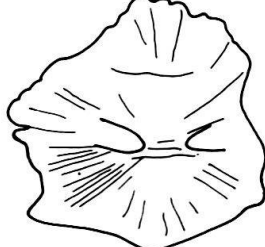
1mm

Antennariidae ind.

1mm



15

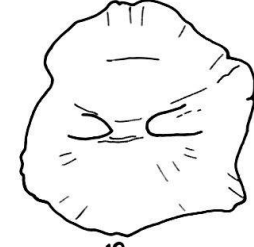


16



17

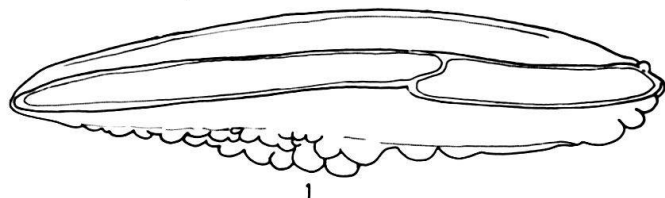
Breamaceros sp.



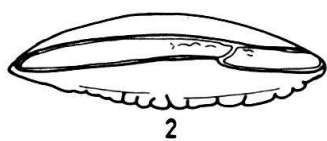
18

Planche V

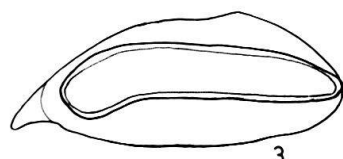
| | | |
|------------|--|-----|
| Fig. 1-2 | <i>Brotula barbata</i> (SCHNEIDER, 1801) | 723 |
| | 1 G.I., actuel, au large du Zaïre. (coll. D. Nolf). | |
| | 2 G.I., Formation de Nariva, point 17, éch. K.R. 25953. (SA 1480) | |
| Fig. 3 | <i>Lepophidium prorates</i> (JORDAN & BOLLMAN, 1889) | 724 |
| | G.I., actuel, Pacifique, au large de Panama. (coll. D. Nolf). | |
| Fig. 4 | <i>Lepophidium microlepis</i> GILBERT, 1890 | 724 |
| | D.I., actuel, au large de la Californie. (coll. F.C. Stinton). | |
| Fig. 5-7 | <i>Lepophidium</i> sp. | 723 |
| | 5a G., profil vu du côté ventral. Formation de Tamana, point 5, éch. K. 12163. (SA 1481) | |
| | 5b <i>ibidem</i> , G.I. | |
| | 6 G.I., Formation de Manzanilla, point 16, éch. K. 10842. (SA 1482) | |
| | 7 D.I., Formation de Brasso, point 23, éch. K. 1875. (SA 1483) | |
| Fig. 8 | <i>Neobythites malayanus</i> WEBER, 1913 | 725 |
| | G.I., actuel, au large de l'Indonésie. (coll. D. Nolf). | |
| Fig. 9 | <i>Lepophidium</i> sp. II | 724 |
| | G.I., Formation de Manzanilla, point 22, éch. S.M. 1399. (SA 1484) | |
| Fig. 10-11 | <i>Neobythites</i> aff. <i>malayanus</i> WEBER, 1913 | 724 |
| | 10 G.I., Formation de Brasso, point 11, éch. 1852. (SA 1485) | |
| | 11a G.I., Formation de Brasso, point 11, éch. 1852. (SA 1486) | |
| | 11b <i>ibidem</i> ; profil, vu du côté ventral. | |
| Fig. 12 | <i>Neobythites</i> sp. | 725 |
| | 12a G.I., Formation de Brasso, point 20, éch. Cb. 1852. (SA 1487) | |
| | 12b <i>ibidem</i> , profil, vu du côté ventral. | |
| Fig. 13 | <i>Neobythites fasciatus</i> SMITH & RADCLIFFE, 1913 | 725 |
| | G.I., actuel, au large du Japon. (coll. F.C. Stinton). | |
| Fig. 14 | Ophidiidae ind. | 725 |
| | G.I., Formation de Manzanilla, point 22, éch. S.M. 1399. (SA 1488) | |



Brotula barbata (SCHNEIDER, J.G., 1801)



1mm



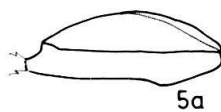
1mm

Lepophidium prorates
(JORDAN, D.S., et BOLLMAN, C.H., 1889)



1mm

Lepophidium microlepis
GILBERT, C.H., 1890



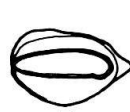
5a



5b

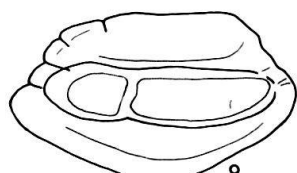


6



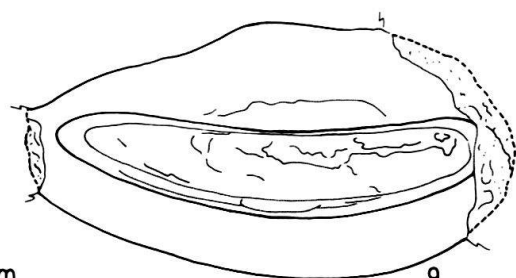
7

Lepophidium sp.I



8

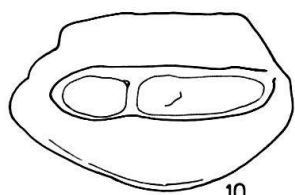
1mm



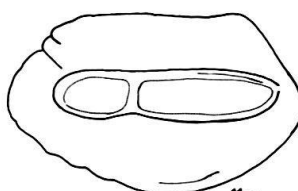
9

Neobythites malayanus WEBER, M., 1913

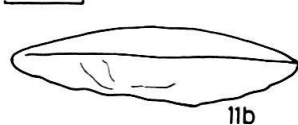
Lepophidium sp.II



10

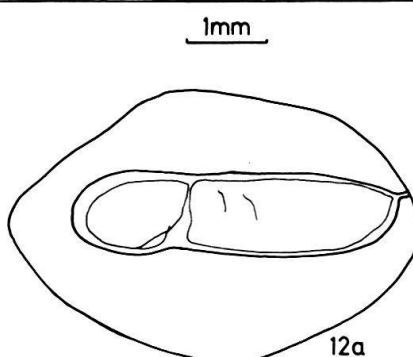


11a

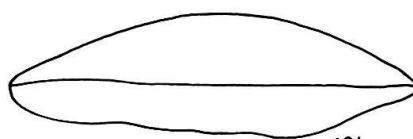


11b

Neobythites aff. *malayanus*

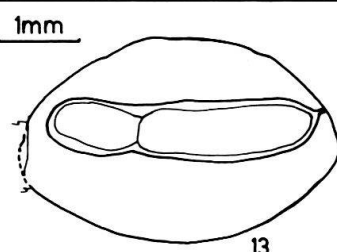


12a



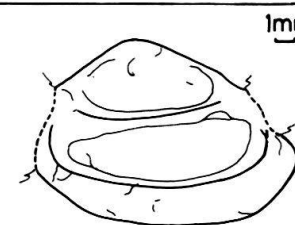
12b

Neobythites sp.



13

Neobythites fasciatus
(SMITH, H., et RADCLIFFE, L., 1913)



Ophidiidae ind.

Planche VI

| | | |
|------------|---|-----|
| Fig. 1 | ? <i>Myripristis</i> sp. | 725 |
| | D.I., Formation de Brasso, point 28, éch. K.R. 6666. (SA 1489) | |
| Fig. 2 | <i>Neanthias accraensis</i> NORMAN, 1831 | 726 |
| | G.I., actuel, côtes du Zaïre. (coll. D. Nolf). | |
| Fig. 3 | <i>Neanthias</i> sp. | 726 |
| | G.I., Formation de Brasso, point 20, éch. Cb. 1852. (SA 1490) | |
| Fig. 4-5 | <i>Apogon</i> sp. I | 726 |
| | 4 G.I., Formation de Brasso, point 10, éch. K.R. 9247. (SA 1491) | |
| | 5 D.I., Formation de Nariva, point 17, éch. K.R. 25953. (SA 1492) | |
| Fig. 6-8 | <i>Apogon</i> sp. II | 726 |
| | 6 D.I., Formation de Brasso, point 28, éch. K.R. 6666. (SA 1493) | |
| | 7 D.I., Formation de Brasso, point 28, éch. K.R. 6666. (SA 1494) | |
| | 8 D.I., Formation de Brasso, point 28, éch. K.R. 6666. (SA 1495) | |
| Fig. 9 | <i>Epigonus trewavasae</i> POLL, 1954 | 727 |
| | G.I., actuel, au large de Casablanca. (coll. D. Nolf). | |
| Fig. 10 | <i>Epigonus</i> sp. | 727 |
| | G.I., Formation de Nariva, point 17, éch. K.R. 25953. (SA 1496) | |
| Fig. 11 | Carangidae ind. | 727 |
| | D.I., Formation de Nariva, point 17, éch. K.R. 25953. (SA 1497) | |
| Fig. 12 | «genus Sparidarum» sp. I | 728 |
| | G.I., Formation de Brasso, point 27, éch. K.R. 6666. (SA 1498) | |
| Fig. 13 | «genus Sparidarum» sp. II | 728 |
| | G.I., Formation de Brasso, point 8, éch. K.R. 7546. (SA 1499) | |
| Fig. 14 | Mullidae ind. | 735 |
| | G.I., Formation de Brasso, point 8, éch. K.R. 7546. (SA 1500) | |
| Fig. 15-16 | <i>Pomadasys</i> sp. | 728 |
| | 15 G.I., Formation de Brasso, point 20, éch. Cb. 1848. (SA 1501) | |
| | 16 D.I., Formation de Brasso, point 11, éch. Cb. 1855. (SA 1502) | |
| Fig. 17-18 | <i>Haemulon</i> sp. | 727 |
| | 17 D.I., Formation de Manzanilla, point 30, éch. 1633. (SA 1503) | |
| | 18 D.I., Formation de Manzanilla, point 30, éch. 1633. (SA 1504) | |

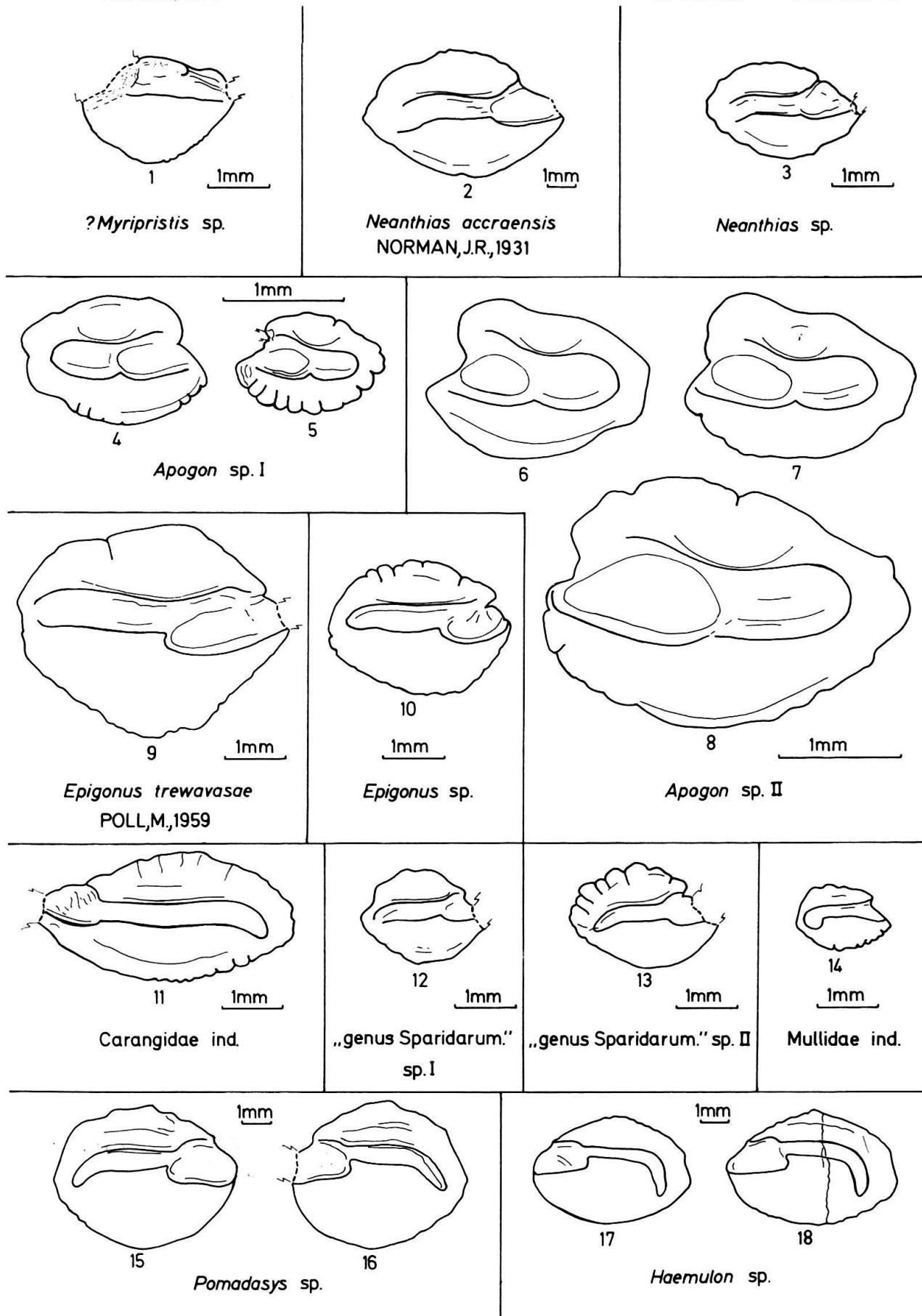
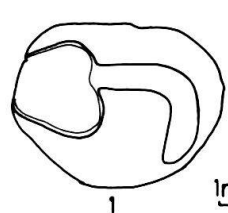
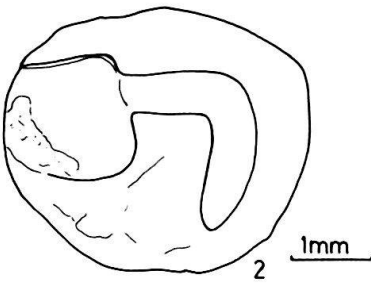


Planche VII

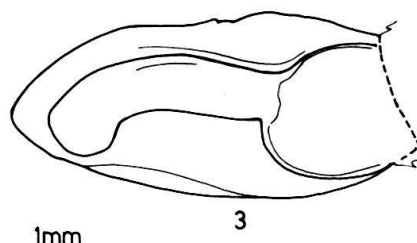
| | | |
|-----------|--|-----|
| Fig. 1 | <i>Ctenosciaena gracilicirrhus</i> METZELAAR, 1919 | 729 |
| | D.I., actuel, côtes du Brésil. (coll. D. Nolf). | |
| Fig. 2 | <i>Ctenosciaena aff. gracilicirrhus</i> METZELAAR, 1919 | 729 |
| | D.I., Formation de Nariva, point 17, éch. K. R. 25953. (SA 1505) | |
| Fig. 3 | <i>Cynoscion</i> sp. | 729 |
| | G.I., Formation de Manzanilla, point 25, éch. Cb. 1633. (SA 1506) | |
| Fig. 4 | <i>Isopisthus</i> sp. | 730 |
| | G.I., Equivalent de la Formation de Springvale, point 1, éch. à 603 ft. (SA 1507) | |
| Fig. 5 | <i>Cynoscion arenarius</i> GINSBURG, 1929 | 729 |
| | G.I., actuel, Golfe du Mexique. (coll. D. Nolf). | |
| Fig. 6 | <i>Isopisthus parvipinnis</i> CUVIER, 1830 | 730 |
| | G.I., actuel, côtes du Brésil. (coll. D. Nolf). | |
| Fig. 7 | <i>Larimus fasciatus</i> HOLBROOK, 1855 | 731 |
| | G.I., actuel, côtes de la Floride. (coll. J. E. Fitch). | |
| Fig. 8-10 | <i>Larimus breviceps</i> CUVIER, 1830 | 730 |
| | 8 G. I., actuel, côtes du Vénézuéla. (coll. D. Nolf). | |
| | 9 G. I., Formation de Manzanilla, point 22, éch. S. M. 1399. (SA 1508) | |
| | 10 D.I., Formation de Tamana, ou base de la Formation de Manzanilla, point 3, éch. Cb. 2076. (SA 1509) | |
| Fig. 11 | <i>Larimus</i> sp. | 731 |
| | D.I., Formation de Manzanilla, point 14, éch. K. 12301. (SA 1510) | |
| Fig. 12 | <i>Macrodon ancylodon</i> (SCHNEIDER, 1801) | 731 |
| | G.I., actuel, côtes de l'Argentine. (coll. D. Nolf). | |
| Fig. 13 | <i>Macrodon</i> sp. | 731 |
| | G.I., Formation de Manzanilla, point 24, éch. K. 9833. (SA 1511) | |



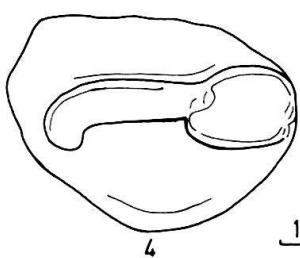
Ctenosciaena gracilicirrus
METZELAAR,J,1919



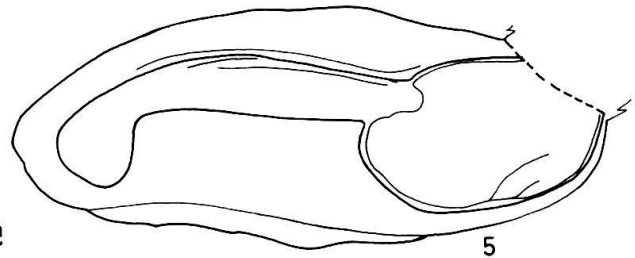
Ctenosciaena aff. gracilicirrus
METZELAAR,J,1919



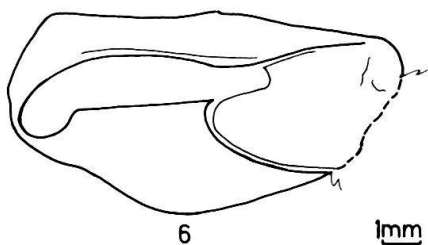
Cynoscion sp.



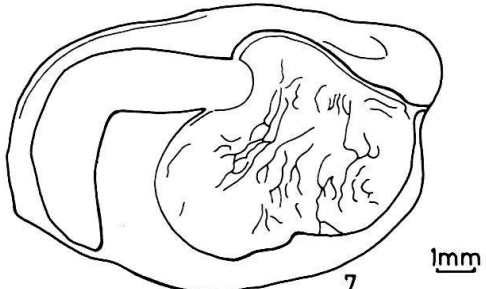
Isopisthus sp.



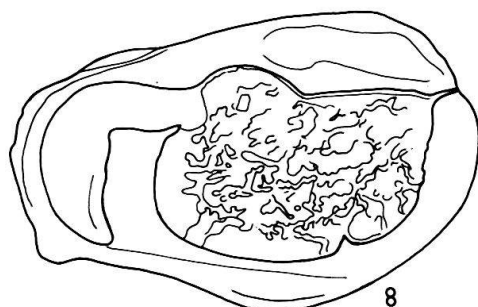
Cynoscion arenarius GINSBURG,I,1929



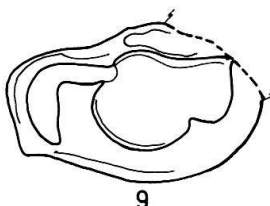
Isopisthus parvipinnis (CUVIER,G,1830)



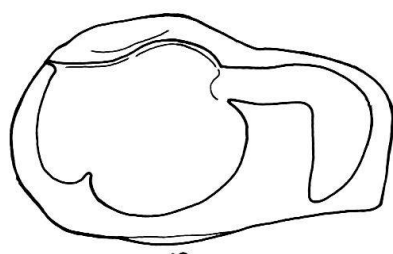
Larimus fasciatus HOLBROOK,J.E,1855



Larimus breviceps CUVIER,G,1830

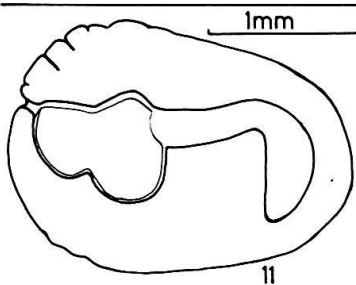


9

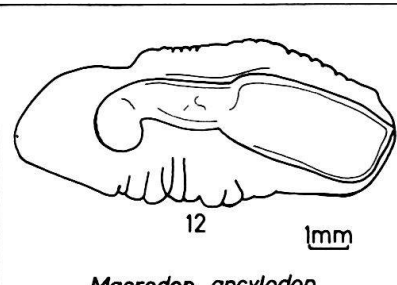


10

1mm



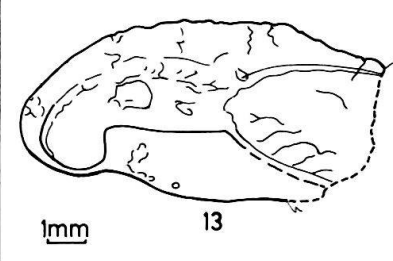
Larimus sp.



12

1mm

Macrodon ancylodon
(SCHNEIDER,J.G,1801)



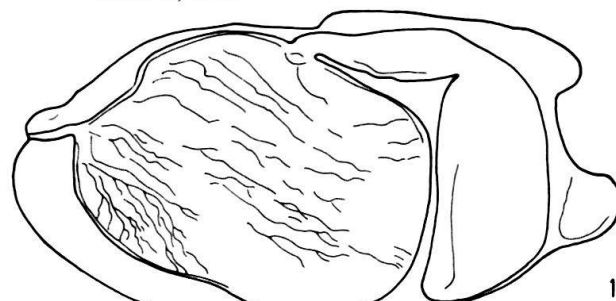
13

Macrodon sp.

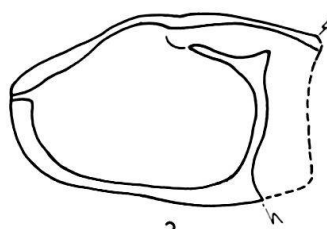
1mm

Planche VIII

| | | |
|------------|--|-----|
| Fig. 1-2 | <i>Nebris microps</i> CUVIER, 1838 | 732 |
| | 1 actuel, côtes du Vénézuela. (coll. D. Nolf). | |
| | 2 Formation de Tamana, ou base de la Formation de Manzanilla, point 3, éch. Cb. 2076. (SA 1512) | |
| Fig. 3 | <i>Pachy wholeps fourcroi</i> (LACEPEDE, 1802) | 732 |
| | actuel, Brésil. (coll. D. Nolf). | |
| Fig. 4-5 | «genus aff. <i>Pachy wholeps</i> » sp. | 732 |
| | 4 G.I., Formation de Manzanilla, point 22, éch. S.M. 1399. (SA 1513) | |
| | 5 G.I., Formation de Manzanilla, point 25, éch. Cb. 1633. (SA 1514) | |
| Fig. 6 | <i>Plagioscion squamosissimus</i> HECKEL, 1840 | 733 |
| | D.I., actuel, Guyana, (coll. British Museum N.H.). | |
| Fig. 7 | <i>Plagioscion</i> sp. | 733 |
| | D.I., Formation de Gros Morne, point 19, éch. K. 12059. (SA 1515) | |
| Fig. 8 | <i>Polycllemus brasiliensis</i> (STEINDACHNER, 1875) | 733 |
| | D.I., actuel, côtes du Brésil. (coll. British Museum N.H.). | |
| Fig. 9 | <i>Polycllemus</i> sp. | 733 |
| | D.I., Formation de Manzanilla, point 25, éch. Cb. 1633. (SA 1516) | |
| Fig. 10 | <i>Sigmurus vermicularis</i> (GUNTHER, 1868) | 734 |
| | G.I., actuel, Pacifique, au large de Panama. (coll. D. Nolf) | |
| Fig. 11-13 | <i>Sigmurus</i> sp. | 733 |
| | 11 G.I., Formation de Tamana, ou base de la Formation de Manzanilla, point 3, éch. Cb. 2076. (SA 1517) | |
| | 12 G.I., Formation de Tamana, ou base de la Formation de Manzanilla, point 3, éch. Cb. 2076. (SA 1518) | |
| | 13 D.I., Formation de Manzanilla, point 25, éch. Cb. 1633. (SA 1519) | |

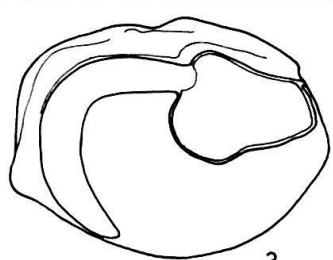


1mm

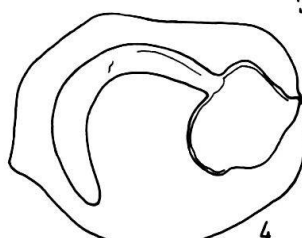


2

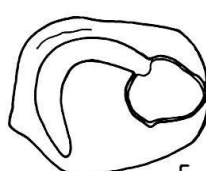
Nebris microps CUVIER, G., 1830



1mm

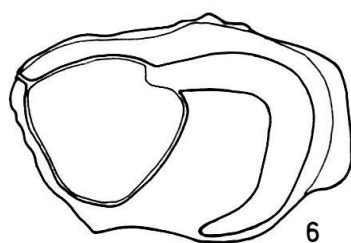


1mm

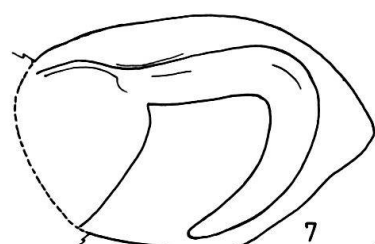


5

Pachypops fourcroi
(LACEPEDE, B., 1802)

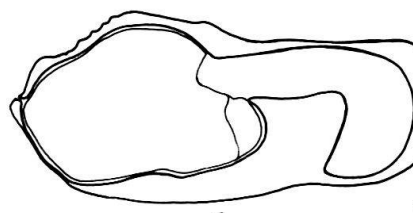


1mm

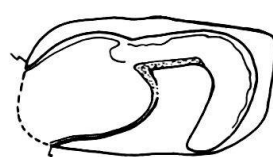


1mm

Plagioscion squamosissimus
HECKEL, J.J., 1840

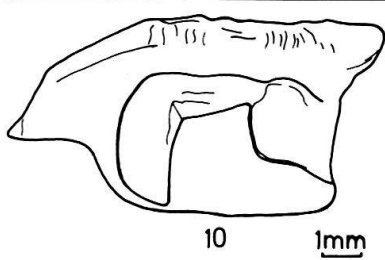


1mm

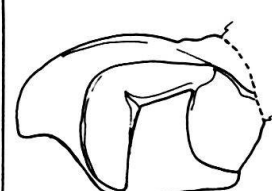


1mm

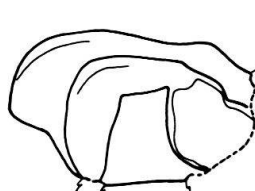
Polyclemus brasiliensis
(STEINDACHNER, F., 1875)



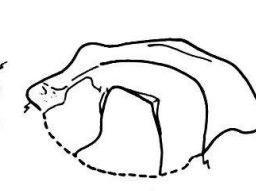
1mm



11



12



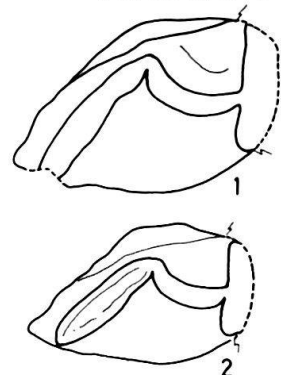
1mm

Sigmurus vermicularis
(GÜNTHER, A., 1868)

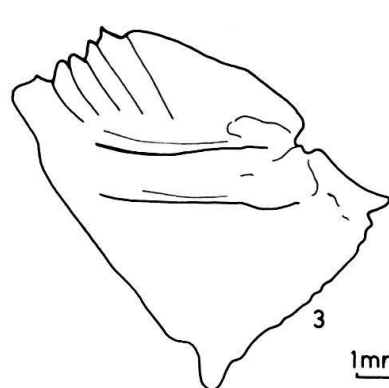
Sigmurus sp.

Planche IX

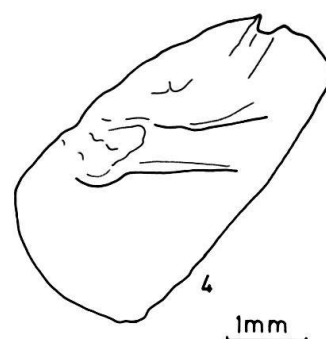
| | | |
|------------|--|-----|
| Fig. 1-2 | «genus Sciaenidarum» sp. | 734 |
| | 1 G.I., Formation de Manzanilla, point 25, éch. Cb. 1633. (SA 1520) | |
| | 2 G.I., Formation de Manzanilla, point 25, éch. Cb. 1633. (SA 1521) | |
| Fig. 3 | <i>Bathyclupea hoskynii</i> ALCOCK, 1891 | 735 |
| | G.I., actuel, Golfe d'Aden. (coll. D. Nolf). | |
| Fig. 4 | <i>Bathyclupea</i> sp. | 735 |
| | D.I., Formation de Nariva, point 17, éch. K.R. 25953. (SA 1522) | |
| Fig. 5 | «genus Percoideorum» sp. | 736 |
| | D.I., Formation de Brasso, point 11, éch. Cb. 1855. (SA 1523) | |
| Fig. 6-7 | Gobiidae | 737 |
| | 6 G.I., Formation de Brasso, point 8, éch. K.R. 7546. (SA 1524) | |
| | 7 G.I., Formation de Nariva, point 17, éch. K.R. 25956. (SA 1525) | |
| Fig. 8 | <i>Opistognathus aurifrons</i> JORDAN & THOMPSON, 1905 | 736 |
| | G.I., actuel, au large de Puerto Rico. (coll. J.E. Fitch). | |
| Fig. 9-11 | <i>Lonchistium</i> sp. | 736 |
| | 9 G.I., Formation de Brasso, point 18, éch. K.R. 6666. (SA 1526) | |
| | 10 D.I., Formation de Brasso, point 18, éch. K.R. 6666. (SA 1527) | |
| | 11 D.I., Formation de Brasso, point 23, éch. Cb. 1875. (SA 1528) | |
| Fig. 12 | <i>Citharichthys</i> sp. | 737 |
| | D.I., Formation de Morne l'Enfer, point 21, éch. K. 12013. (SA 1529) | |
| Fig. 13 | <i>Citharichthys stygmaeus</i> JORDAN & GILBERT, 1882 | 738 |
| | D.I., actuel, côtes de la Californie. (coll. D. Nolf). | |
| Fig. 14 | «genus Pleuronectiformorum» sp. I | 738 |
| | D.I., Formation de Nariva, point 28, éch. K.R. 6666. (SA 1530) | |
| Fig. 15 | «genus Pleuronectiformorum» sp. II | 738 |
| | D.I., Formation de Springvale, point 18, éch. K.R. 11862. (SA 1531) | |
| Fig. 16 | «genus Soleidarum» sp. | 738 |
| | 16a G.I., Formation de Brasso, point 20, éch. Cb. 1848. (SA 1532) | |
| | 16b G., ibidem, profil en vue ventrale. | |
| Fig. 17 | <i>Sympfurus</i> sp. | 739 |
| | G.I., Formation de Manzanilla, point 17, éch. K. 18054. (SA 1533) | |
| Fig. 18-19 | <i>Sympfurus nigrescens</i> RAFINESQUE, 1810 | 739 |
| | 18 G.I., actuel, au large de Casablanca. (coll. D. Nolf). | |
| | 19 D.I., actuel, au large de Casablanca. (coll. D. Nolf). | |



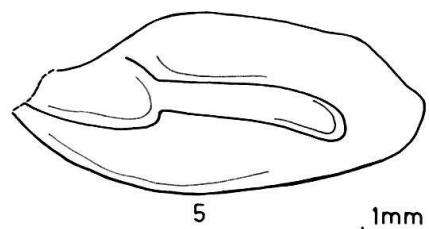
..genus *Sciaenidarum*. sp.



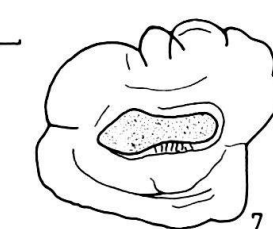
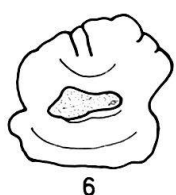
Bathyclupea hoskynii ALCOCK,A.W.,1891



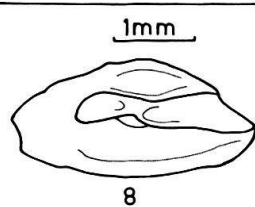
Bathyclupea sp.



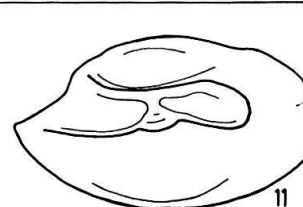
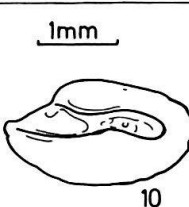
..genus *Percoideorum*. sp.



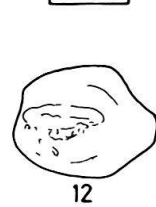
Gobiidae



Opistognathus aurifrons
JORDAN,D.S, et THOMPSON,
J.C.,1905



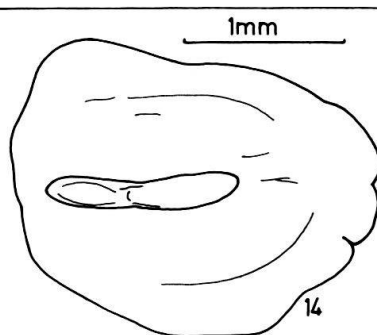
Lonchistium sp.



Citharichthys sp.



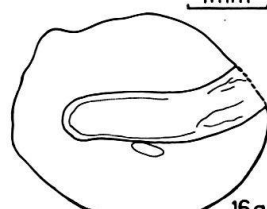
Citharichthys stygmaeus
JORDAN,D.S, et GILBERT,
C.H.,1882



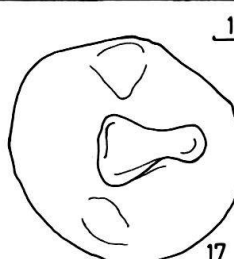
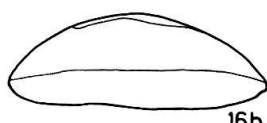
..genus *Pleuronectiformorum*. sp.I



..genus *Pleuronecti-*
formorum. " sp.II



..genus *Soleidarum*. sp.



Sympodus sp.

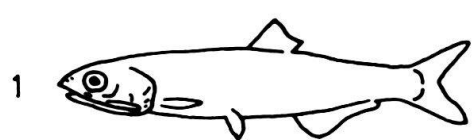


Sympodus nigrescens RAFINESQUE,C,1810



Planches X-XII

Aspect général des familles de Téléostéens (telles que déterminées d'après leurs otolithes) du Néogène de Trinidad. Dessins d'après GREENWOOD, ROSEN, WEITZMAN & MYERS (1966).



Engraulidae



Ariidae



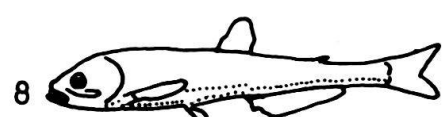
Perigasteridae



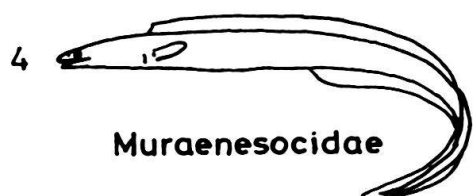
Sternopychidae



Clupeidae



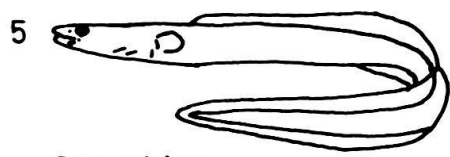
Photichthyidae



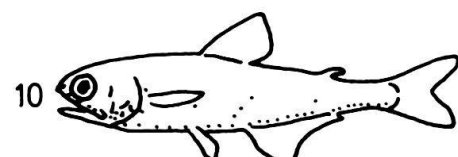
Muraenesocidae



Synodontidae



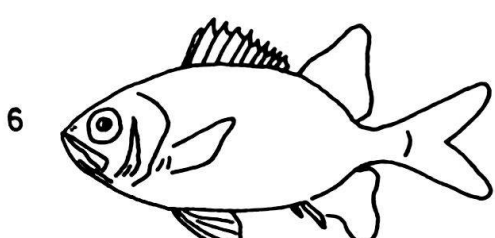
Congridae



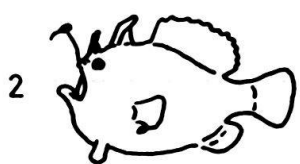
Myctophidae



Batrachoididae



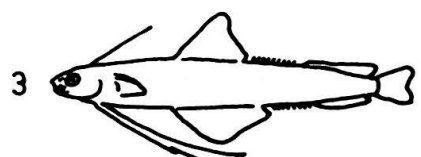
Myripristidae



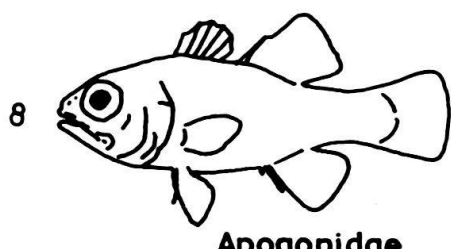
Antennariidae



Serranidae



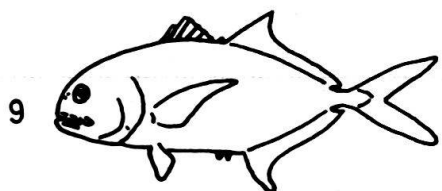
Bregmacerotidae



Apogonidae



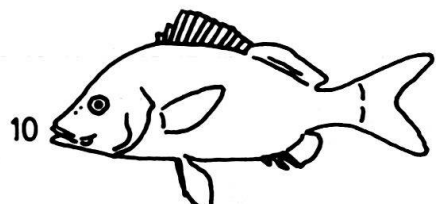
Eretmophoridae



Carangidae



Ophidiidae



Pomadasytidae

